DOI: 10.3969/j.issn.2095-1787.2022.04.004

涝渍胁迫对入侵植物白花鬼针草及其本地 近缘种金盏银盘生长和生理特性的影响

宋 玉1,2,岳茂峰1*,尹爱国1,辛国荣2

¹广东石油化工学院生物与食品工程学院/岭南现代农业科学与技术广东省实验室茂名分中心, 广东 茂名 525000; ²中山大学生命科学学院,广东 广州 510275

摘要:【目的】揭示涝渍胁迫下白花鬼针草与其本地近缘种金盏银盘的生长和生理特性差异。【方法】研究对照和涝渍胁迫下白花鬼针草和金盏银盘株高、新生不定根数目、净光合速率(P_n)、总生物量、相对生长速率、叶面积等生长和生理指标的变化。【结果】涝渍胁迫后入侵植物白花鬼针草比本地种金盏银盘保持了更高的株高、新生不定根数目和 $P_n(P<0.01)$,更高的总生物量、相对生长速率、根生物量、茎生物量、叶生物量、叶面积(P<0.05)。涝渍胁迫 10 d内,白花鬼针草根系活力和光系统 II 最大光量子产量显著高于金盏银盘(P<0.05),涝渍胁迫 20 d后 2 物种的 2 个参数趋于一致,这些结果表明涝渍对白花鬼针



开放科学标识码 (OSID 码)

草生长的负面影响较小。涝渍胁迫前期更快的不定根生长速度和更高的根系脱氢酶活力可缓解涝渍对白花鬼针草的胁迫,减少了涝渍对光合系统的破坏,使其保持更高的 P_{n} ,从而有助于白花鬼针草保持更高的生长速率,是白花鬼针草耐受涝渍的生理机制。【结论】与本地近缘种金盏银盘相比,短期涝渍可使入侵植物白花鬼针草形成生长优势,华南地区雨季短期集中降水所形成的土壤涝渍有利于白花鬼针草的入侵。全球气候变化造成的降水不平衡性可能会加剧白花鬼针草在华南地区的入侵。

关键词: 涝渍; 白花鬼针草; 生长; 光合特性; 不定根; 入侵能力

Effects of waterlogging on the growth and physiological characteristics of the invasive plant *Bidens alba* and its native cogeneric *B. biternata*

SONG Yu^{1,2}, YUE Maofeng^{1*}, YIN Aiguo¹, XIN Guorong²

¹School of Biological and Food Engineering, Guangdong University of Petrochemical Technology/Maoming Branch, Guangdong Laboratory for Lingnan Modern Agriculture, Maoming, Guangdong 525000, China; ²School of Life Sciences, Sun Yat-sen University, Guangzhou, Guangdong 510275, China

Abstract: [Aim] The aim of this study was to reveal the difference of growth and physiological characteristics between $Bidens\ alba$ and its native congeneric B. biternata under waterlogging stress. [Method] The changes of plant height, number of new adventitious roots, net photosynthetic rate (P_n) , total biomass, relative growth rate, leaf area and other growth and physiological indicators of B. alba and B. biternata were studied under control and waterlogging stress. [Result] B. alba maintained a higher plant height, the number of new adventitious roots, and $P_n(P<0.01)$, total biomass, relative growth rate, root biomass, stem biomass, leaf biomass and leaf area (P<0.05) than the native B. biternata during waterlogging stress. The dehydrogenase activity of roots and maximum quantum yield of photosystem II of B. alba was significantly higher than that of B. $biternata\ (P<0.05)$ within 10 days of waterlogging stress, but those parameters tended to be consistent after 20 days of waterlogging stress, indicating that the negative effects of waterlogging on invasive B. alba were less than the native B. biternata. The faster growth rate of new adventitious roots and the higher dehydrogenase activity of roots in the early stage of waterlogging stress could alleviate the stress of waterlogging on the invasive B. alba, which would reduce the damage of waterlogging to the photosynthetic system, and maintain a higher P_n , thus contributing to a higher growth rate of B. alba. These results explained the tolerance mechanism of B. alba to waterlogging. [Conclusion] Compared with the

收稿日期(Received): 2022-03-28 接受日期(Accepted): 2022-06-20

基金项目: 广东省自然科学基金(2022A1515011169); 2021 年广东省乡村振兴战略专项资金项目(2021S0063); 广东普通高校重点领域(乡村振兴战略)项目(2019KZDZX2009); 广东省科技创新战略专项(KJ030)

作者简介:宋玉,男,硕士研究生。研究方向:入侵植物生理生态学。E-mail: 1972568846@qq.com

^{*} 通信作者(Author for correspondence), 岳茂峰, E-mail: 21376286@ qq.com

native *B. biternata*, short-term waterlogging can make the invasive *B. alba* form a growth advantage, and the waterlogging caused by the short-term concentrated precipitation of the rainy season in southern China is conducive to the invasion of *B. alba*. The imbalance of precipitation caused by global climate change might exacerbate the invasion of *B. alba* in southern China.

Key words: waterlogging; Bidens alba; growth; photosynthetic characteristics; adventitious roots; invasiveness

生物入侵、动植物栖息地丧失和全球气候变化并称为21世纪全球三大环境问题,三者常交织在一起对生态系统造成重大影响(Sala et al.,2000)。在全球气候变化下,极端气候将导致动植物栖息地环境因子发生变化,改变生态系统中各生物的生长发育和竞争效应,进而影响生物入侵的进程(Azzurro et al.,2019; Liu et al.,2021)。因此,极端气候造成的动植物栖息地生境改变如何影响生物入侵是当前生态学需要回答的科学问题之一。

极端降水是全球气候变化造成的极端气候之 一。当前,极端降水事件在全球范围内的频率和强 度均显著增加,并且这种状况可能继续恶化(Donat et al., 2016)。极端降水所造成的土壤水分变化影 响稳定生态系统中不同植物的竞争关系,重塑新的 竞争格局,进而影响外来植物的入侵能力(Drake et al.,2016)。涝渍是极端降水引起的常见气象灾害, 对陆生植被生长、发育造成严重危害(Le Provost et al.,2016; Niinemets & Valladares,2006)。虽然已有 学者研究了涝渍如何影响旱地作物的生长(Mendiondo et al., 2016; Setter & Waters, 2003), 但关于涝 渍对人侵植物影响的研究主要集中在湿地和河岸 生态系统,且不同入侵植物对涝渍的响应并不一致 (Allred & Cary, 2019; Chen et al., 2013; Yue et al., 2019a)。涝渍对外来植物入侵能力的影响仍不明 确,我国华南地区降水丰富,雨季降水常持续数日, 使得旱地土壤水分频繁处于饱和状态,当前雨季持 续性降水所造成的土壤涝渍在华南地区外来植物 入侵过程中所扮演的角色仍不清楚(王家宜等, 2017; Sun et al., 2020)。因此, 明确入侵植物与本 地植物对涝渍胁迫响应的差异,对揭示华南地区外 来植物的入侵机制具有重要意义。

白花鬼针草 Bidens alba (L.) DC,有别于传统 "白花鬼针草" Bidens pilosa var. radiata Sch.-Bip.,属于菊科鬼针草属,原产于热带美洲,是一种近年来在我国华南地区新暴发的一年生或多年生入侵植物(田兴山等,2010),在我国广东、广西、福建等地区作物田、果园、疏林和荒地等生境造成严重危害,已成为我国华南地区危害最严重的入侵植物之

一(岳茂峰等,2016)。虽然部分学者从白花鬼针草的种子萌发、生长和繁殖特性等研究了白花鬼针草入侵机制(罗娅婷等,2019;韦春强等,2013; 闫小红等,2019),但上述研究仍无法充分解释其在我国华南地区暴发成灾的机制。研究表明,白花鬼针草在我国的高度适生区主要分布在北回归线两侧附近(岳茂峰等,2016),华南地区位于北回归线附近,该地区极端降水引起的涝渍是否促进了白花鬼针草的人侵还不明确。

本研究以入侵植物白花鬼针草为例,其本地近缘种金盏银盘 Bidens biternata (Lour.) Merr. et Sherff 为对照(金盏银盘与白花鬼针草在华南地区生境相似,但其分布范围更广)(Yue et al.,2017),通过研究二者在涝渍胁迫下的生长和生理特性变化,分析其生长和生理特性对涝渍胁迫响应的差异,明确涝渍对白花鬼针草入侵能力的影响,从而揭示白花鬼针草在华南地区的入侵机制,为白花鬼针草的防控和管理提供科学依据。

1 材料与方法

1.1 研究材料

入侵植物白花鬼针草及其本地近缘种金盏银盘的种子均于 2015 年秋季采自广东省广州市番禺区。

1.2 试验方法

试验于 2016 年 3—4 月在广东省农业科学院植物保护研究所进行。地理位置为 N23°8′46″; E113°20′52.4″,海拔高度 14 m,属于南亚热带气候,年平均温度 21.4~21.9 ℃,年平均降雨量 1623.6~1899.8 mm。先将白花鬼针草和金盏银盘种子放入盛有滤纸的培养皿在人工气候箱(30/25 ℃,12 h光照)中育苗。当幼苗生长到 2 叶期,将幼苗移栽到装有砂土(pH6.0、有机碳 9.50 g·kg⁻¹、有效氮59.63 mg·kg⁻¹、有效磷 40.5 mg·kg⁻¹、有效钾 44.5 mg·kg⁻¹)的塑料盆(直径 14 cm,高 13 cm)中培养,每盆种植 1 株植物。当幼苗生长到 6 叶期(高度 13 cm 左右)开始进行涝渍胁迫试验。试验设置涝渍和对照 2 种处理。其中,涝渍处理是将种有植株的花盆浸在水里,土壤表面与水平面齐平;对照

处理的土壤含水量维持在土壤最大持水量的 70%~80%。每种处理 40 个重复,共计 160 盆。分别于处理第 0、5、10、15、20 天取出 8 株植株测定相关参数。涝渍胁迫前选取与试验处理幼苗一致的 2 种植物的幼苗各 8 株进行烘干处理,测定其初始生物量。试验于处理 20 d 后结束。

1.3 生长及生理指标观测

1.3.1 生长指标 试验处理期间,每5d测定一次 株高(cm),根、茎、叶生物量(g),叶面积(cm²),不定 根数目,不定根长度(cm),计算总生物量、根冠比、比 叶面积(specific leaf area, SLA, cm²·g⁻¹)及相对生 长速率(relative growth rate, RGR, mg·d⁻¹·g⁻¹)。 生理指标 (1)光合参数。在涝渍处理的第 0、5、10、15、20 天上午 10:00 左右用 Li-6400 便携式 光合作用测定系统(LI-COR Inc., Lincoln, NE, USA)测定叶片净光合速率(net photosynthetic rate, $P_{\rm n}$, μmol·m⁻²·s⁻¹)。所测叶片均使用饱和光强 1200 μmol·m⁻²·s⁻¹, CO, 浓度保持在 380 μmol· mol⁻¹,叶面温度设定为 25 ℃。所有处理过的样品在 测量前暗适应 20 min。光系统 II (photosystem II, PS Ⅱ)的能量分配利用叶绿素荧光仪(Dual-PAM-100, Heinz Walz, Effeltrich, Germany) 通过在饱和脉冲下 的慢动力诱导曲线测定(Klughammer & Schreiber, 2008)。通过对慢动力曲线分析获得光系统Ⅱ最大光 量子产量(the maximum quantum yield of PSII, F,/ F_m) (Schreiber et al., 1986)、有效光量子产量[the effective quantum yield of PSII, Y(II) (Genty et al., 1989)、非调节性能量耗散的量子产量[the quantum yield of non-regulated energy dissipation of PS II, Y(NO)](Cailly et al., 1996)和调节性能量耗散的量子 产量[the quantum yield of regulated energy dissipation of PSII, Y(NPQ)] (Kramer et al.,2004) $_{\circ}$

(2)根系脱氢酶活力。根系脱氢酶的活力(root dehydrogenase activity, RDA, $mg \cdot g^{-1} \cdot h^{-1}$)利用 TTC(氯化三苯基四氮唑)法来测定(Liu *et al.*, 2015)。涝渍处理前 5 d 时根系仍以旧根为主,所以原有根系被用于测定涝渍处理第 0 和 5 天后根系脱氢酶的活力。5 d 后原有根系逐渐消失,因此,第 10 天开始新生不定根被用于测定根系脱氢酶的活力。

1.4 数据处理与分析

利用 SPSS 软件进行统计分析。采用二因素方差分析(two-way ANOVA)来评价涝渍处理 10 和 20

d 后物种、涝渍以及它们的交互作用对生长和生理的影响;各处理间生长和生理参数的差异使用单因素方差分析(one-way ANOVA: Tukey's test)进行显著性检验。在涝渍胁迫下白花鬼针草和金盏银盘生长和生理参数差异利用独立样本 T 检验进行比较分析。采用 SigmaPlot 14.0 绘图。

2 结果

2.1 涝渍胁迫后白花鬼针草和金盏银盘生长参数的变化

在涝渍处理5、10、15和20d后,白花鬼针草的 株高、新生不定根数量和长度显著高于金盏银盘 (图 1A、B、C)。试验处理 10 d 后, 涝渍对白花鬼针 草和金盏银盘的株高、总生物量、RGR、根生物量、 茎生物量、叶生物量、叶面积、SLA和根冠比产生显 著影响,且物种间各参数差异显著(表1)。与对照 相比,白花鬼针草和金盏银盘的株高、总生物量、 RGR、根生物量、茎生物量、叶生物量、叶面积和 SLA 均显著降低,且物种间存在显著差异(表 2), 其中白花鬼针草的各参数分别下降 17.83%、 41.94% 34.81% 23.08% 46.67% 42.86% 61.67% 和34.55%,金盏银盘的各参数分别下降33.62%、 62.86% 79.11% 55.56% 65.71% 61.54% 77.79% 和40.64%。与白花鬼针草相比,金盏银盘各参数 下降更加明显。与此同时,白花鬼针草和金盏银盘 的根冠比均分别显著增加31.25%和6.67%。

试验处理 20 d 后,处理和物种对生长参数均有显著影响(表1)。与对照相比,白花鬼针草和金盏银盘的株高、总生物量、RGR、根生物量、茎生物量、叶生物量、叶面积和 SLA 均显著降低(表3),其中白花鬼针草的各参数分别下降 27.63%、49.38%、32.63%、8.70%、56.52%、55.88%、64.12%和17.64%,金盏银盘的各参数分别下降 56.44%、72.50%、77.32%、58.33%、75.81%、71.11%、77.06%和 18.34%。与白花鬼针草相比,本地种金盏银盘各参数(SLA 除外)下降更加明显。白花鬼针草和金盏银盘的根冠比则分别显著增加 105.88%和50.00%。

2.2 涝渍胁迫后白花鬼针草和金盏银盘生理参数 的变化

在涝渍处理前期(5 和 10 d 后), 白花鬼针草的 P_{m} 、 $F_{\text{v}}/F_{\text{m}}$ 、Y(NPQ) 和 RDA 均显著高于金盏银盘 (P<0.01), 后期(20 d)2 物种的 $F_{\text{v}}/F_{\text{m}}$ 、Y(NPQ) 和 RDA 趋于一致(图 1D、E、H 和 I)。

试验处理 10 d f, 涝渍对白花鬼针草和金盏银盘的 P_n 、 F_v/F_m 、Y(II)、Y(NO)、Y(NPQ)和 RDA均具有显著影响(表 1)。与对照相比,涝渍胁迫下白花鬼针草和金盏银盘的 P_n 、 F_v/F_m 、Y(II)均显著下降,白花鬼针草的各参数下降比例小于金盏银盘(表 2),其中:白花鬼针草的各参数分别下降42.00%、2.41%和50.00%;金盏银盘的各参数分别下降52.74%、4.88%和55.00%。白花鬼针草和金盏银盘的Y(NO)、Y(NPQ)和RDA均有所上升,其中,白花鬼针草的各参数分别上升 12.50%、10.53%和10.20%,而金盏银盘的各参数分别上升4.17%、15.79%和4.26%。

试验处理 20 d 后, 涝渍对 2 物种的 P_n 、Y (II)、Y (NO)和 RDA 均有显著影响, 而对 F_v/F_m 和 Y (NPQ)的影响不显著(表 1)。与对照相比, 涝渍胁迫下白花鬼针草和金盏银盘的 P_n 、Y (II)和 RDA 显著下降(表 3), 其中: 白花鬼针草的各参数分别下降 49.13%、45.00%和 28.00%;金盏银盘的各参数分别下降 58.02%、50.00%和27.08%。白花鬼针草和金盏银盘的 Y (NO)分别上升 16.07%和14.29%。二者的 F_v/F_m 和 Y (NPQ)则无明显变化。

3 讨论

本研究结果表明,入侵植物白花鬼针草在短期 涝渍胁迫下生物量和相对生长速率下降占比低于本地近缘种金盏银盘,表明涝渍对白花鬼针草的负面影响较小,涝渍有助于入侵植物白花鬼针草形成生长优势。该结果与陆生入侵植物三叶鬼针草 B. pilosa L.的试验结果相似(Yue et al.,2019)。尽管二者分布范围有较大差异,但由于二者均起源美洲热带地区(田兴山等,2010),该地区雨水充沛,这可能使其形成了较强的涝渍适应能力。

涝渍对植物的影响作用于根系,快速形成不定根以代替因缺氧死亡的初生根,是耐淹植物应对涝渍胁迫的主要适应方式之一(Chen et al.,2016)。新生不定根可在伸长区形成发达的通气组织,使根内部组织孔隙度大幅提高,改善根系氧气摄取和运输能力,从而适应涝渍的低氧环境(Dominickj & Ninal,2005)。在本研究中,入侵植物白花鬼针草表现出更快的不定根生成和生长能力。这与以往耐水淹的植物常表现出快速不定根生成能力相一致(Vidoz et al.,2016)。涝渍诱导形成的不定根也有利于水位回落后植物在土壤中的固定(Almeida et al.,2003)。因

此,涝渍胁迫下白花鬼针草不定根的快速生长不但有利于其快速的适应水淹低氧环境,而且有助于其在水位回落后恢复生长。植物在淹水的环境下可通过增加乙醇脱氢酶、乳酸脱氢酶等脱氢酶的活性启动无氧呼吸,以应对缺氧环境(Hawrylak-Nowak et al.,2015; Li et al.,2010)。本研究中人侵植物白花鬼针草的根系脱氢酶的活力在涝渍处理过程中始终高于本土植物金盏银盘。白花鬼针草更高的根系脱氢酶活力有利于其在缺氧状态下进行能量代谢,维持正常生长。可见,在涝渍胁迫下,入侵植物白花鬼针草不但可通过快速生成不定根来获得氧气,更强的脱氢酶活力也缓解了缺氧对根系造成的危害,有利于其在涝渍下生长发育。

光合作用是植物生长的决定性因素之一。本 研究表明,在涝渍胁迫过程中白花鬼针草的 P。显著 高于金盏银盘;与对照处理相比,白花鬼针草的 P。 下降比例显著低于金盏银盘,这与白花鬼针草在胁 迫过程中保持较高的生长速率相一致。植物生理 代谢的变化与植物形态结构的改变密切相关(Gasecka et al.,2012)。本试验中白花鬼针草能够保持 更大的叶面积和 SLA。SLA 在一定程度上反映了 叶片截获光的能力和在强光下的自我保护能力,能 够反映植物在不同生境下资源获取能力(齐威等, 2012)。涝渍条件下植物的叶片常常变小,以减少 光的获得量来适应生理代谢(Fan et al., 2015)。本 试验结果表明,白花鬼针草在涝渍下依然可通过更 大的叶面积和 SLA 来获取等多的光能来维持生理 代谢。此结果与涝渍胁迫下白花鬼针草和金盏银 盘 P_n 的变化一致。可见,在涝渍胁迫下,白花鬼针 草表现出更高的光合能力,这有利于白花鬼针草积 累更多的碳水化合物来维持快速生长。

白花鬼针草和金盏银盘光能利用效率的改变也可以从其叶绿素荧光参数的变化反映出来。本研究中,白花鬼针草的 F_v/F_m 相对比较稳定,始终维持在0.80以上,而金盏银盘的 F_v/F_m 在涝渍处理后的5、10、15 d均低于0.80。一般来讲,植物在正常状态下的 F_v/F_m 为0.80~0.84。当植物的 F_v/F_m 小于0.8时,说明植物的光系统II 遭到显著破坏(Van Kooten & Snel,1990)。因此,在涝渍处理过程中白花鬼针草的光系统II受到的破坏相对较轻,而金盏银盘的光系统II受到明显破坏。

Ì

→ 白花鬼针草 B. alba

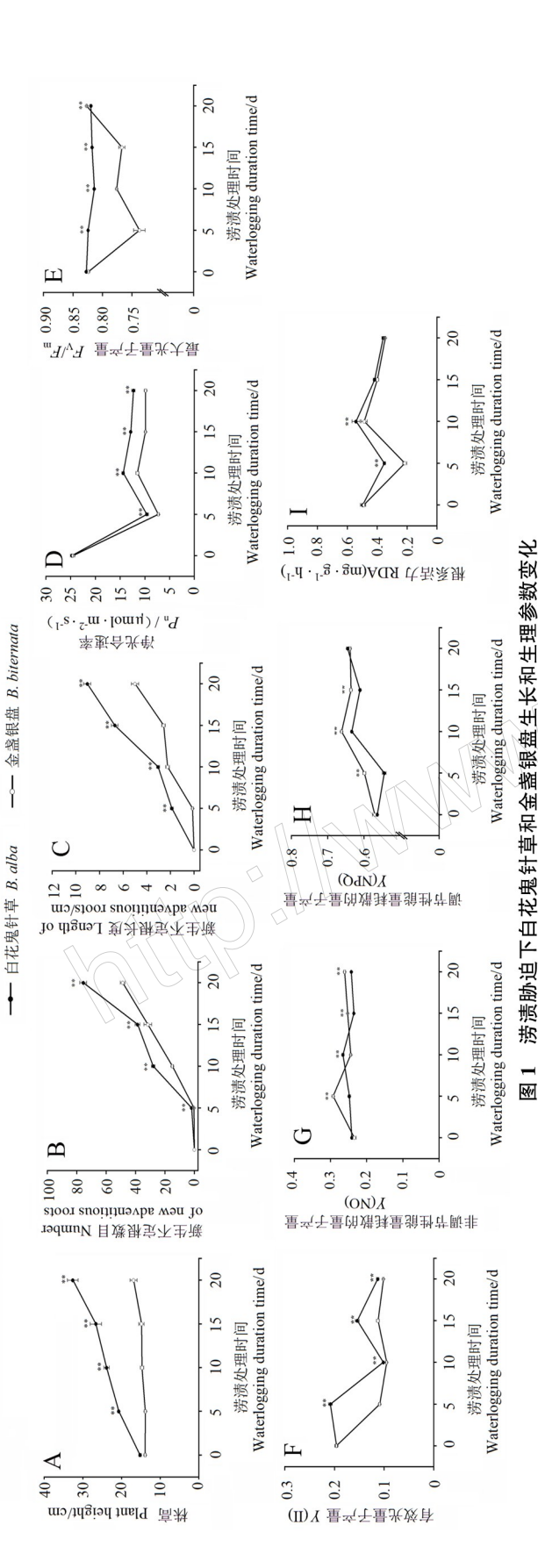


Fig.1 Changes in the growth and physiological variables of B. alba and B. biternata under waterlogging treatments (means ± 8). ** 代表在 α=0.01 水平有显著差异

indicates a significant difference at $\alpha = 0.01$ level

Table 1 Results from two-way ANOVA (F value) for treatment effects on variables of B. alba and B. biternata after 10- and 20-day waterlogging treatments (n=8) 涝渍处理 10 和 20 d 后白花鬼针草和金盏银盘各参数的双因素方差分析(F值) 表1

		3 4 5					3		
	处理	林	总生物量	相对生长速率	根生物量	茎生物量	叶生物量	叶面积	比叶面积
	Treatment	Plant height/cm	Total biomass/g	E	Root biomass/g	Stem biomass/g	Leaf biomass/g	Leaf area $/ \mathrm{cm}^{-2}$	Specific leaf area/ $(cm^2 \cdot g^{-1})$
涝渍 10 d	物种 Species (S)	81.53 ***	1158.00 ***	1333.00 ***	738.53 ***	317.84 ***	470.77 ***	500.12 ***	25.25 ***
10-day	涝渍 Waterlogging (W)	50.58 ***	2919.00 ***	2921.00 ***	545.03 ***	1229.00 ***	1105.00***	2188.00 ***	395.06 ***
waterlogging	物种×诺渍 S×W	1.63ns	10.98 **	258.56 ***	23.05 ***	1.63ns	3.48ns	12.17 **	0.68ns
涝渍 20 d	物种 Species (S)	50.34 ***	457.70 ***	946.02 ***	1799.00 ***	54.47 ***	261.76 ***	248.39 ***	9.36 **
20-day	涝渍 Waterlogging (W)	142.08 ***	1635.00 ***	1714.00 ***	234.39 ***	867.48 ***	800.10 ***	922.82 ***	152.85 ***
waterlogging	物种×涝渍 S×W	11.57 **	$3.47 \mathrm{ns}$	160.75 ***	83.62 ***	7.77 * *	* 69.5	17.65 ***	0.00 ns
	处理 Treatment	根冠比 Boot/shoot ratio	净光合速率 B _n //mgl·m ⁻² ·s ⁻¹	最大光量子产量 F/F	有效光量子产量 V(II)	非调节性能量耗散的 鲁子产鲁 Y (NO)		调节性能量耗散的 量子产量 Y (NPO)。	根系脱氢酶活力 Root dehydro-
1	Treatment .	TOOLS SHOOT INC.	/ parmor in s		(#);	T = (= = = = = = = = = = = = = = = = =			Schaes activity (mg g m)
涝渍 10 d	物种 Species (S)	48.57 ***	38.18 ***	445.13 ***	$3.15 \mathrm{ns}$	28.92 ***		35.81 ***	3.32ns
10-day	涝渍 Waterlogging (W)	55.13 ***	1793.00***	1047.00***	6320.00 *** *	79.99 ***	() 13(307.00 ***	$3.05 \mathrm{ns}$
waterlogging	物种×涝渍 S×W	12.18 **	19.05 ***	405.96 ***	11.92 **	22.88 ***	7	40.58 ***	1.06ns
捞渍 20 d	物种 Species (S)	225.39 ***	50.21 ***	15.15 **	7.83 **	17.41 ***		2.60ns	2.46ns
20-day	涝渍 Waterlogging (W)	303.70 ***	3272.00 **	$2.57 \mathrm{ns}$	3636.00 ***	51.70 ***	=	113.00ns	191.61 ***
waterlogging	物种×捞渍 S×W	88.89	15.22 *	7.55 *	21.75 ***	27.04 ***		1.54ns	$0.01 \mathrm{ns}$
20.0.0	** 30 0 0 *	*** 1000,0							

ns; P>0.05; * : P<0.05; * : P<0.01; * * : P<0.001.

表 2 涝渍处理 10 d 后白花鬼针草和金盏银盘生长和生理参数变化

Table 2 The growth and physiological changes of B. alba and B. biternata after 10-day un-waterlogging and waterlogging treatments (means ±SE, n=8)

		according to the control of				9-99-	9999	,	()	_
	处理 Treatment	株高 Plant height /cm	总生物量 Total biomass /g	相对生长速率 Relative growth rate	根生物量 Root biomass /g	茎生物量 Stem biomass /g	叶生物量 Leaf biomass /g	叶面积 Leaf area /cm ⁻²	比叶面积 Specific leaf area /(cm²·g⁻¹)	
白花鬼针草	对照 Control	29.00±1.04a	0.93±0.01a	155.75±0.80a	0.13±0.002a	0.45±0.01a	$0.35\pm0.003a$	239.32±2.47a	690.01±5.91a	
B.alba	涝渍 Waterlogging	$23.83 \pm 0.69 \mathrm{b}$	0.54±0.02c	$101.53\pm2.05c$	$0.10\pm0.002b$	$0.24\pm0.01c$	$0.20{\pm}0.005\mathrm{c}$	$91.72\pm1.16c$	$451.60\pm12.46c$	
金盏银盘	对照 Control	22.13±1.19b	0.70±0.01b	126.57±0.77b	0.09±0.002b	0.35±0.01b	$0.26\pm0.01b$	163.42±5.02b	637.46±13.35b	
B. biternata	涝渍 Waterlogging	$14.69\pm0.42c$	$0.26\pm0.004d$	26.44±1.66d 0.04±0.001c	$0.04\pm0.001c$	$0.12\pm0.002d$	$0.10\pm0.003d$	36.29±1.35d	378.39±16.07d	
	处理 Treatment	根冠比 Root shoot ratio	海光合速率 P _n /(μmol・m ⁻² ・s ⁻¹)	最大光 量子产量) F _v /F _m	有效光 量子产量 Y(II)	非调节性能量耗散的 量子产量 Y(NO)		周节性能量耗散的 量子产量 Y(NPQ)	根系脱氢酶活力 Rootdehydrogenase activity /(mg·g ⁻¹ ·h ⁻¹)	1
白花鬼针草	对照 Control	$0.16\pm0.003 \mathrm{bc}$	24.81±0.23a	0.83±0.001a	0.20±0.001a	$0.24\pm0.002 \mathrm{bc}$		0.57±0.002c	0.49±0.02b	
B.alba	涝渍 Waterlogging	$0.21\pm0.01a$	$14.39\pm0.25b$	$0.81\pm0.001c$	0,10±0.001b	$0.27 \pm 0.003a$		$0.63\pm0.002b$	$0.54\pm0.03a$	三物
金盏银盘	对照 Control	$0.15\pm0.003c$	24.31±0.31a	0.82±0.001b	0.20±0.001a	$0.24\pm0.002c$		$0.57 \pm 0.002c$	0.47±0.01c	安:
B. biternata	涝渍 Waterlogging	$0.16{\pm}0.01b$	$11.49\pm0.30c$	$0.78\pm0.001d$	$0.09\pm0.002c$	$0.25 \pm 0.002b$		$0.66\pm0.003a$	$0.49\pm0.02b$	全与
日型大国	同别不同小兒今丹圭完不同从细问去。_005,少亚在六日基举目	女女巫 # 50 0 = · · · · ·	日夫柔目							字]

同列不同小写字母表示不同处理间在 α=0.05 水平存在显著差异。

Means with different letters in the same column are significantly different at $\alpha = 0.05$ level.

表 3 涝渍处理 20 d 后白花鬼针草和金盏银盘生长和生理参数变化

	Table 3	Table 3 The growth and physiological changes	iological changes of $B.$ a	ilba and B. biternat	a after 20-day un-v	vaterlogging and v	waterlogging tr	of B. alba and B. bitemata after 20-day un-waterlogging and waterlogging treatments (means \pm SE, $n=8$)	<i>n</i> = 8)
	处理 Treatment	株高 Plant height /cm	总生物量 ht Total biomass /g	相对生长速率 Relative growth rate	根生物量 Root biomass /g	茎生物量 Stem biomass /g	叶生物量 Leaf biomass /g	叶面积 Leaf area /cm ⁻²	比叶面积 Specific leaf area /(cm²·g⁻¹)
白花鬼针草	对照 Control 选速 W.	44.99±1.67a	7a 1.60±0.02a	104.75±0.68a	0.23±0.003a	0.69±0.01a	0.68±0.02a	451.19±14.90a	
b.atod 金盏银盘	が似 waterlog 対照 Control			83.23±1.08b	$0.21\pm0.004a$ $0.12\pm0.002b$	0.62±0.02b	$0.30\pm0.02c$ $0.45\pm0.01b$		545.40±9.11c 630.70±8.27b
B. biternata	涝渍 Waterlogging	ging 17.25±0.93d	3d 0.33±0.01d	18.88±1.59d	$0.05\pm0.003c$	0.15±0.01d	$0.13\pm0.01d$	65.19±2.99d	515.05±6.23d
	处理 Treatment	根冠比 Root shoot ratio	静光合速率 P _n // (μmol·m ⁻² ·s ⁻¹)	最大光 量子产量 1) F _v /F _m	有效光 量子产量 Y(II)	非调节性能量耗散的 量子产量 Y(NO)		周节性能量耗散的 量子产量 Y (NPQ)	根系脱氢酶活力 Rootdehydrogenase activity /(mg·g ⁻¹ ·h ⁻¹)
白花鬼针草	对照 Control	0.17±0.003b	3b 24.20±0.17a	0.82±0.001a	$0.20\pm0.001a$	0.24±0.002b	126	0.56±0.002b	0.50±0.02a
B.alba	涝渍 Waterlogging	ging 0.35±0.01a	a 12.31±0.33b	$0.82\pm0.001a$	$0.11 \pm 0.002b$	0.24±0.001b	116	$0.65\pm0.003a$	$0.36\pm 0.01b$
金盏银盘	对照 Control	$0.12\pm0.003c$	3c 23.49±0.15a	$0.83\pm0.001a$	$0.20\pm0.001a$	$0.24\pm0.001b$) the	0.56±0.002b	$0.48\pm0.01a$
B. biternata	涝渍 Waterlogging	ging $0.18\pm0.01b$	b $9.86\pm0.20c$	$0.83\pm0.001a$	$0.10{\pm}0.001\mathrm{c}$	$0.26\pm0.003a$)3a	$0.64\pm0.003a$	$0.35\pm0.01c$
	1	1	1						

同列不同小写字母表示不同处理间在 α=0.05 水平存在显著差异。

Means with different letters in the column row are significantly different at $\alpha = 0.05$ level.

本试验中,除涝渍胁迫后 10 d 外,其他检测时间金盏银盘 Y(NO) 均显著高于白花鬼针草。Y(NO) 是光损伤的重要指标,若 Y(NO) 较高,则表明光化学能量转换和保护性的调节机制不足以将植物吸收的光能完全消耗掉,植物可能已经受到损伤或者(尽管还未损伤)继续光照的话植物将受到损伤。可见,在涝渍胁迫过程中,本地种金盏银盘的光系统受到的破坏更加严重。与此同时,白花鬼针草 Y(II) 在 20 d 内始终显著高于金盏银盘,说明白花鬼针草可把更加多的光能用于光合作用,以维持生长。

综上所述,白花鬼针草能够在涝渍条件下快速生成不定根缓解涝渍对其影响,并保持更高的净光合速率以维持快速生长,从而形成生长优势。白花鬼针草及其本地近缘种金盏银盘对涝渍的响应表明,我国南方地区雨季集中降水所造成的短期土壤涝渍有利于白花鬼针草的人侵。近期有研究表明,源于热带美洲地区的薇甘菊 Mikania micrantha H. B.K.表现出极强的耐水淹能力,但这种耐水淹能力在其入侵过程中发挥的作用尚不明确(Yue et al., 2019b)。全球气候变化下极端降水对源于美洲热带地区外来植物入侵能力的影响值得进一步关注。

参考文献

- 罗娅婷,王泽明,崔现亮,赵利坤,王桔红,罗银玲,2019. 白花鬼针草的繁殖特性及入侵性.生态学杂志,38(3): 40-47.
- 齐威,郭淑青,崔现亮,阳敏,张永东,杜国祯,卜海燕, 2012. 青藏高原东部 4 科植物种子大小和比叶面积随海 拔和生境的变异. 草业学报,21(6):42-50.
- 田兴山,岳茂峰,冯莉,杨彩宏,杨红梅,2010.外来入侵杂草白花鬼针草的特征特性.江苏农业科学(5):174-175.
- 王家宜,余涵霞,赖玉芳,万方浩,钱万强,彭长连,李伟华,2017. 人侵杂草薇甘菊与本地植物粉葛对水分胁迫的生理响应. 生物多样性,25(12):17-25.
- 韦春强,潘玉梅,唐赛春,林春华,刘明超,2013.不同光 照和温度下白花鬼针草和金盏银盘种子萌发研究.杂草 科学,31(4):1-4.
- 闫小红,曾建军,周兵,王宁,岳冬梅,2019.干旱胁迫对白花鬼针草异型瘦果萌发与幼苗生长的影响.生态学杂志,38(11):3327-3334.
- 岳茂峰, 冯莉, 崔烨, 张纯, 田兴山, 2016. 基于 MaxEnt 模型的入侵植物白花鬼针草的分布预测及适生性分析. 生

物安全学报, 25(3): 222-228.

- ALMEIDA A M, VRIEZEN W H, STRAETEN D V D, 2003. Molecular and physiological mechanisms of flooding avoidance and tolerance in rice. *Russian Journal of Plant Physiology*, 50(6): 743-751.
- ALLRED S, GARY G, 2019. Riparian landowner decision-making in the context of flooding: an application of the theory of planned behavior. *Environment Systems & Decisions*, 39: 396-408.
- AZZURRO E, SBRAGAGLIA V, CERRI J, BARICHE M, BOLOGNINI L, SOUISSI J B, BUSONI G, COCO S, CHRYSSANTHI A, FANELLI E, GHANEM R, GARRABOU J, GIANNI F, GRATI F, KOLITARI J, LETTERIO G, LIPEJ L,
 MAZZOLDI C, MILONE N, PANNACCI ULLI F, PEŠICA,
 SAMUEL-RHOADS Y, SAPONARI L, TOMANIC J, TOPÇU N
 E, GIOVANNI V, MOSCHELLA P, 2019. Climate change, biological invasions, and the shifting distribution of mediterranean
 fishes: a large cale survey based on local ecological knowledge.

 Global Change Biology, 25(8): 2779–2792.
- CAILLY A, RIZZAL F, GENTY B, HARBINSON J, 1996.

 Fate of excitation at PS II in leaves, the non-photochemical side. *Plant Physiology and Biochemistry*, 34: 86.
- CHEN T, YUAN F, SONG J, WANG B, 2016. Nitric oxide participates in waterlogging tolerance through enhanced adventitious root formation in the euhalophyte Suaeda salsa. Functional Plant Biology, 43(3): 244-253.
- CHEN Y, ZHOU Y, YIN T, LIU C, LUO F, 2013. The invasive wetland plant *Alternanthera philoxeroides* shows a higher tolerance to waterlogging than its native congener *Alternanthera sessilis*. *PLoS ONE*, 8(11): e81456.
- DOMINICKJ P, NINAL B, 2005. On the occurrence of adventitious branch roots on root axes of trees. American Journal of Botany, 92(5): 802–809.
- DONAT M G, LOWRY A L, ALEXANDER L V, OGORMAN P A, MAHER N, 2016. More extreme precipitation in the world's dry and wet regions. *Nature Climate Change*, 6: 508-513.
- DRAKE B L, HANSON D T, LOWREY T K, SHARP Z D, 2016.

 The carbon fertilization effect over a century of anthropogenic CO₂ emissions; higher intracellular CO₂ and more drought resistance among invasive and native grass species contrasts with increased water use efficiency for woody plants in the US Southwest. Global Change Biology, 23(2): 782–792.
- FAN S F, YU H H, LIU C H, YU D, YAN Y Q, WANG L G, 2015. The effects of complete submergence on the morphological and biomass allocation response of the invasive plant *Alternan*thera philoxeroides. *Hydrobiologia*, 746(1): 159–169.

- GASECKA M, MLECZEK M, DRZEWICEKA K, MAGDZIAK Z, RISSMANN I, CHADZINIKOLAU T, GOLINSKI P, 2012. Physiological and morphological changes in *Salix viminalis* L. as a result of plant exposure to copper. *Environmental Letters*, 47 (4): 548–557.
- GENTY B, BRIANTAIS J M, BAKER N R, 1989. The relationship between the quantum yield of photosynthetic electron transport and quenching of chlorophyll fluorescence. Biochimica et Biophysica Acta (BBA)-General Subjects, 990 (1): 87–92.
- HAWRYLAK-NOWAK B, MATRASZEK R, POGORZELEC M, 2015. The dual effects of two inorganic selenium forms on the growth, selected physiological parameters and macronutrients accumulation in cucumber plants. *Acta Physiologiae Plantarum*, 37(2): 37-41.
- KLUGHAMMER C, SCHREIBER U, 2008. Complementary PS II quantum yields calculated from simple fluorescence parameters measured by PAM fluorometry and the saturation pulse method. PAM Application Notes, 1(2); 201–247.
- KRAMER D M, AVENSON T J, KANAZAWA A, CRUZ J A, IVANOV B, EDWARDS G E, 2004. The relationship between photosynthetic electron transfer and its regulation // PAPAGEORGIOU G C, GOVINDJEE. Chlorophyll a fluorescence: a signature of photosynthesis. Dordrecht: Springer: 251-278.
- LE PROVOST G, LESUR I, LALANNE C, SILVA C D, LABA-DIE K, AURY J M, LEPLE J C, PLOMION C, 2016. Implication of the suberin pathway in adaptation to waterlogging and hypertrophied lenticels formation in pedunculate oak (*Quercus robur L.*). Tree Physiology, 36(11): 1330–1342.
- LIU J, WANG W, WANG L, SUN Y, 2015. Exogenous melatonin improves seedling health index and drought tolerance in tomato. *Plant Growth Regulation*, 77(3): 317–326.
- LIU Z, YU H, SUN X, DING J, 2021. Effects of elevated temperature on chemistry of an invasive plant, its native congener and their herbivores. *Journal of Plant Ecology*, rtab013. [2021-01-20]. https://doi.org/10.1093/jpe/rtab013.
- LI C Y, BAI T H, MA F W, HAN M, 2010. Hypoxia tolerance and adaptation of anaerobic respiration to hypoxia stress in two Malus species. Scientia Horticulturae, 124(2): 274–279.
- MENDIONDO G M, GIBBS D J, SZURMAN-ZUBRZYCKA M, KORN A, MARQUEZ J, SZAREJKO I, MALUSZYNSKI M, KING J, AXCELL B, SMART K, CORBINEAU F, HOLDSWORTH M J, 2016. Enhanced waterlogging tolerance in barley by manipulation of expression of the N-end

- rule pathway E3 ligase PROTEOLYSIS6. *Plant Biotechnology Journal*, 14(1): 40–50.
- NIINEMETS Ü, VALLADARES F, 2006. Tolerance to shade, drought, and waterlogging of temperate Northern Hemisphere trees and shrubs. *Ecological Monographs*, 76(4): 521–547.
- SCHREIBER U, SCHLIWA U, BILGER W, 1986. Continuous recording of photochemical and non-photochemical chlorophyll fluorescence quenching with a new type of modulation fluorometer. *Photosynthesis Research*, 10(1): 51–62.
- SETTER T L, WATERS I, 2003. Review of prospects for germplasm improvement for waterlogging tolerance in wheat, barley and oats. *Plant and Soil*, 253(1): 1–34.
- SALA O E, CHAPIN F S, ARMESTO J J, BERLOW E L, BLOOMFIELD J, DIRZO R, HUBER-SANWALD E, HUENNEKE L F, JACKSON R B, KINZIG A, LEEMANS R, LODGE D M, MOONEY H A, OESTERHELD M, POFF N L, SYKES M T, WALKER B H, WALKER M, WALL D H, 2000. Global biodiversity scenarios for the year 2100. Science, 287: 1770–1774.
- SUN J, JAVED Q, AZEEM A, ULLAH I, SAIFULLAH M, KA-MA R, DU D, 2020. Fluctuated water depth with high nutrient concentrations promote the invasiveness of *Wedelia trilobata* in Wetland. *Ecology and Evolution*, 10(2): 832–842.
- VIDOZ M L, MIGNOLLI F, AISPURU H T, MROGINSKI L A, 2016. Rapid formation of adventitious roots and partial ethylene sensitivity result in faster adaptation to flooding in the aerial roots (aer) mutant of tomato. *Scientia Horticulturae*, 201: 130–139.
- VAN KOOTEN O, SNEL J F H, 1990. The use of chlorophyll fluorescence nomenclature in plant stress physiology. *Photo-synthesis Research*, 25(3): 147-150.
- YUE M, FLORY S L, FENG L, YE W H, SHE N H, TIAN X S, WANG Z M, 2017. Effects of extreme temperatures on the growth and photosynthesis of invasive *Bidens alba* and its native congener *B. biternata*. *Nordic Journal of Botany*, 35: 377–384.
- YUE M, SHEN H, LI W, CHEN J, YE W, TIAN X, YIN A, CHENG S, 2019a. Waterlogging tolerance of *Bidens pilosa* translates to increased competitiveness compared to native *Bidens biternata*. *Plant and Soil*, 437(1): 301-311.
- YUE M, YU H, LI W, YIN A, CUI Y, TIAN X, 2019b. Flooding with shallow water promotes the invasiveness of *Mikania micrantha*. *Ecology and Evolution*, 9(16); 9177-9184.

(责任编辑:郭莹)